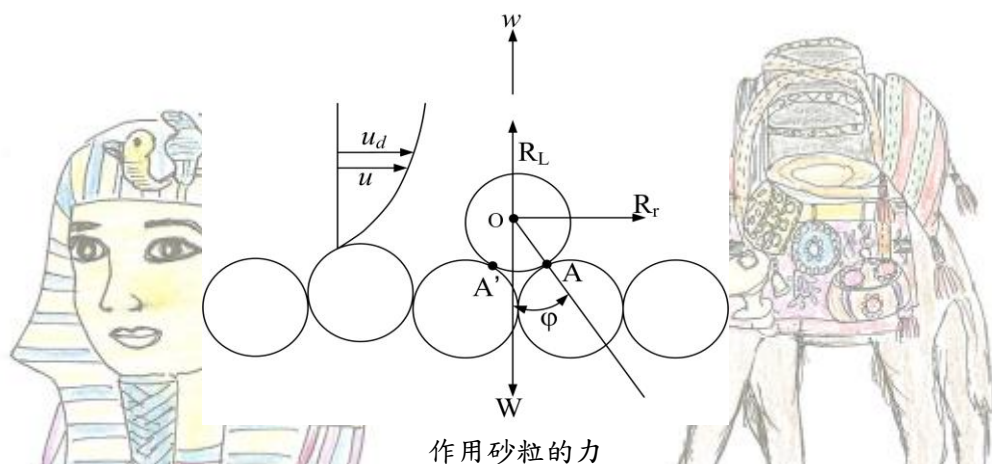


## 波引起底質移動



如上圖，作用於海底突出球狀砂粒的力，有因波浪運動引起水平力  $R_T$ 、上揚力  $R_L$  及砂粒水中重量  $W$ 。波運動，由於  $R_L \ll R_T$ ，可忽略  $R_L$ ，水粒子水平速度為  $u$  時，水平力  $R_T$  可以下式表示

$$R_T = \frac{\pi}{6} \rho \left[ \frac{3}{4} C_D d^2 u |u| + C_M d^3 \frac{\partial u}{\partial t} \right] \quad (1)$$

$\rho$  為水密度、 $d$  為砂粒粒徑、 $C_M$  及  $C_D$  分別為球的慣性係數及抗力係數，上式右邊第 1 項及第 2 項分別表示作用於球的抗力及慣性力。由於水粒子受波作用，作往復運動，水粒子速度與波進行方向一致時，水平力  $R_T > 0$ ，2 者反向時， $R_T < 0$ 。砂粒受波作用是否會發生移動，只要考量對 A (或 A') 點的轉動力矩即可判別，砂粒在水中的靜止摩擦角以  $\phi$  表示，當

$$|R_T| \cdot d/2 \cdot \cos \phi < W \cdot d/2 \cdot \sin \phi$$

即

$$|R_T| < W \tan \phi \quad (2)$$

時砂粒不會發生移動，移動臨界為

$$|R_T| = W \tan \phi \quad (3)$$

由(1)式可知，水平力  $R_T$  值及其作用方向隨波運動作時間性變化，在波的 1 個週期內，(2)式恆被滿足時，砂粒不會發生移動。 $|R_T| > W \tan \phi$  時，砂粒開始發生移動，因此在 1 個週期內，水平力絕對最大值  $|R_T|$  達下列條件時，即為瞬間移動臨界

$$|R_T|_{\max} = W \tan \phi \quad (4)$$

$$W = \pi(\rho_s - \rho)gd^3/6 \quad (5)$$

$\rho_s$  為砂粒密度。

討論底質移動時，最大問題在於如何決定水粒子水平速度  $u$ 。由於砂粒存在於底面邊界層，假定底面為光滑面、邊界層內的流為層流，依據層流邊界層理論，水粒子水平速度  $u$  可以下式表示

$$u = u_0 q(\omega t, z/\delta) \quad (6)$$

$$q(\omega t, z/\delta) = \cos \omega t - \exp\left(-\frac{1}{\sqrt{2}} \frac{z}{\delta}\right) \cos\left(\omega t - \frac{1}{\sqrt{2}} \frac{z}{\delta}\right) \quad (7)$$

$$u_0 = \frac{\pi H}{T} \frac{1}{\sinh kh}, \quad \delta = \sqrt{\nu / \omega}$$

$\nu$  為水動粘性係數， $z$  表示從底面算起垂直距離。利用(6)式計算  $u$  及  $\partial u / \partial t$  時，應以那一高度的水平速度及加速度為基準比較妥當，尚無定論。至目前為止，大多以砂粒頂部  $z = d$  處速度  $u_d$  及加速度  $(\partial u / \partial t)_d$  為計算高度，即

$$u_d = u_0 q_d(\omega t, d/\delta) \quad (8)$$

$$\left(\frac{\partial u}{\partial t}\right)_d = u_0 \omega q'_d(\omega t, d/\delta)$$

將上式代入(1)式，依(4)及(5)式，可得臨界移動如下

$$\frac{u_0^2}{s g d \tan \phi} = \frac{1}{\Phi_{\max}} \quad (9)$$

$$\Phi_{\max} = \left| \frac{3}{4} C_D q_d |q_d| + C_M \left(\frac{\omega d}{u_0}\right) q'_d \right|_{\max} \quad (10)$$

$$s = \rho_s / \rho - 1$$

對球體，慣性力係數  $C_M = 1.5$ ，抗力係數  $C_D$  為 Reynold 數  $(u_0 d / \nu)$  的函數。因

$$\frac{d}{\delta} = \left(\frac{u_0 d}{\nu}\right) \left(\frac{u_0 \delta}{\nu}\right)^{-1} \quad (11)$$

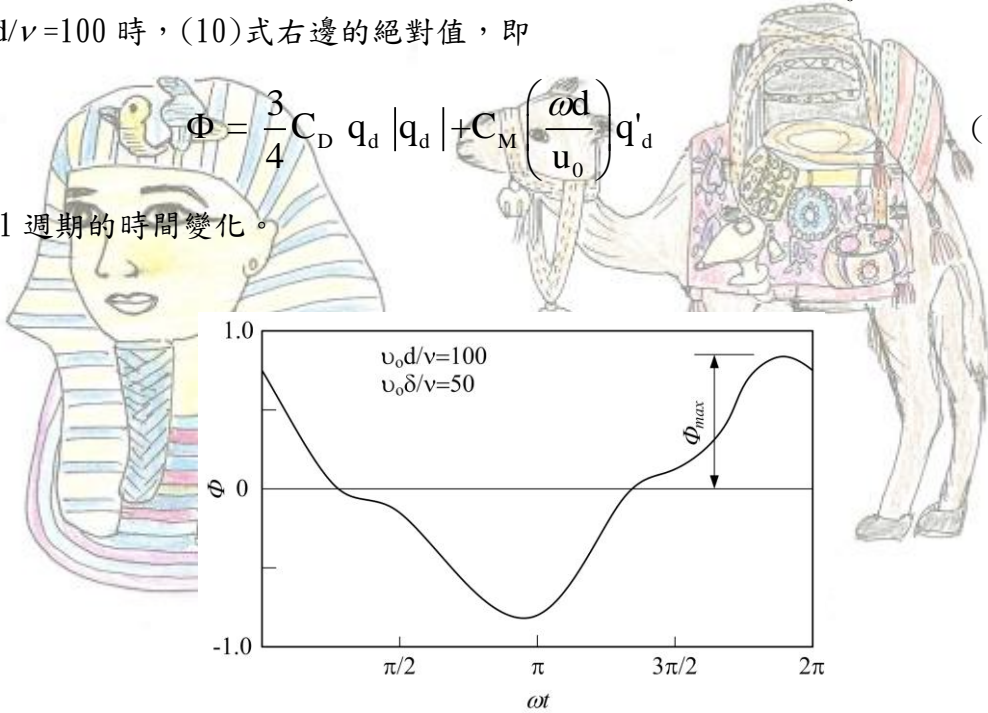
$$\frac{\omega d}{u_0} = \left(\frac{u_0 d}{\nu}\right) \left(\frac{u_0 \delta}{\nu}\right)^{-2} \quad (12)$$

可知  $\Phi_{max}$  為  $u_0 d/\nu$  及  $u_0 \delta/\nu$  的函數。

堀川、渡邊認為  $d/\delta \leq 4.6$  的底面可視為光滑面，Collins 以  $u_0 \delta/\nu < 113$  為層流邊界層條件。因此在此條件下，(11)及(12)式成立。下圖為  $u_0 \delta/\nu = 50$ ， $u_0 d/\nu = 100$  時，(10)式右邊的絕對值，即

$$\Phi = \frac{3}{4} C_D q_d |q_d| + C_M \left( \frac{\omega d}{u_0} \right) q'_d \quad (13)$$

在 1 週期的時間變化。



$\Phi$  的時間變化(堀川, 1966)

Komar · Miller 利用邊界層理論及實驗結果，得下列臨界移動值

$$\frac{u_0^2}{s g d \tan \phi} = \begin{cases} 0.30 \left( \frac{u_0 d}{\nu} \right)^{-0.5} \left( \frac{u_0 \delta}{\nu} \right) & d \leq 0.5 \text{ mm} \\ 2.73 \left( \frac{u_0 d}{\nu} \right)^{-0.25} \left( \frac{u_0 \delta}{\nu} \right)^{0.5} & d > 0.5 \text{ mm} \end{cases}$$

回海岸水力學 回分類索引  
載滿貨品的驢子

回海洋工作站  
阿拉丁神燈